

Aérodynamique des turbines éoliennes et méthodes du contrôle des vibrations

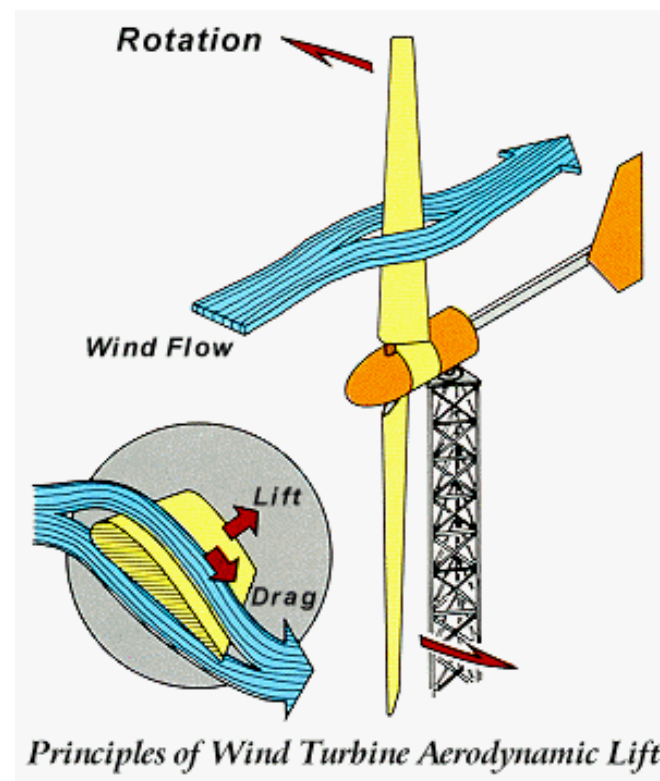
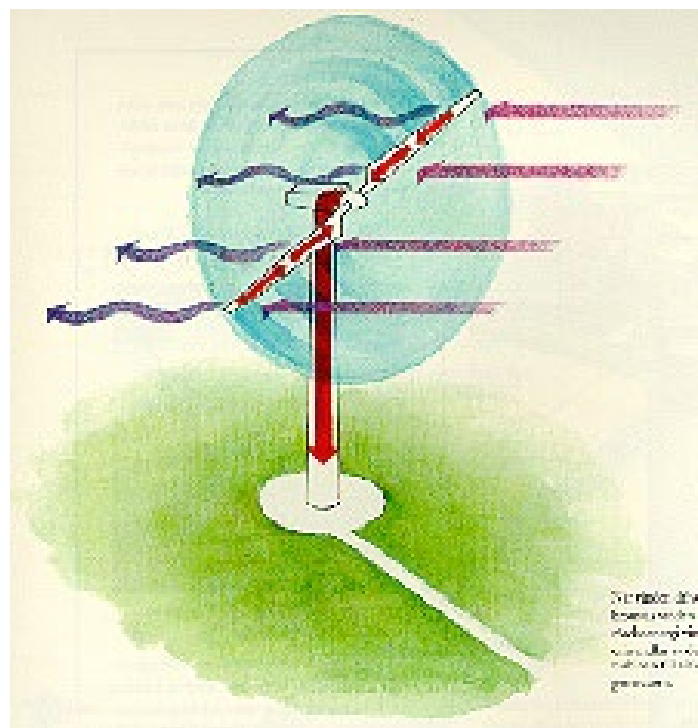
**Adrian ILINCA, Professeur
Directeur, Laboratoire de recherche en énergie éolienne
Université du Québec à Rimouski
adrian_ilinca@uqar.ca**

Plan de la présentation

- Concepts généraux
- Aérodynamique des turbines éoliennes
 - Théorie du disque et limite de Betz
 - Théorie du disque avec rotation du sillage
 - Aérodynamique des profils
 - Théorie de l'élément de pale (BEM)
 - Forme optimale de la pale
 - Courbe de puissance de la turbine éolienne
- Survol des méthodes de contrôle de la vibration des turbines éoliennes
- Conclusion

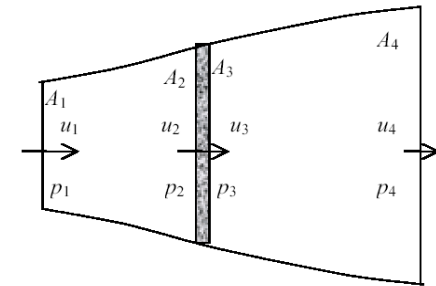
Théories aérodynamiques

- Théorie du disque
- Théorie de l'élément de pale



Théorie du disque et limite de Betz

- Image globale de la captation de l'énergie cinétique par le disque du rotor
- Hypothèses:
 - Pas de frottement
 - Écoulement homogène, incompressible, stationnaire
 - Nombre infini de pales (disque « plein »)
 - Poussée uniforme sur la surface du disque
 - Sillage sans rotation
 - Pressions statiques en amont et en aval du disque égales à la pression atmosphérique normale

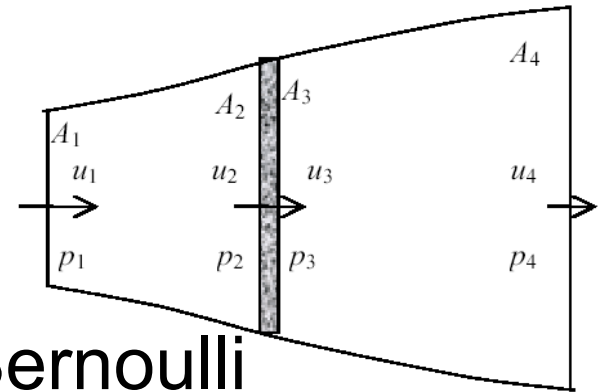


Théorie du disque et limite de Betz

- Calcul de la poussée sur le disque:
 - Conservation de la quantité de mouvement

$$T = U_1(\rho AU)_1 - U_4(\rho AU)_4$$

$$T = \dot{m}(U_1 - U_4)$$



- Différence de pression et Bernoulli

$$T = A_2(p_2 - p_3) = \frac{1}{2} \rho A_2 (U_1^2 - U_4^2)$$

Théorie du disque et limite de Betz

- Facteur d'induction axiale a :

$$U_2 = U_3 = \frac{1}{2}(U_1 + U_4)$$

$$a = \frac{(U_2 - U_1)}{U_1}$$

$$U_2 = U_3 = U_1(1 - a)$$

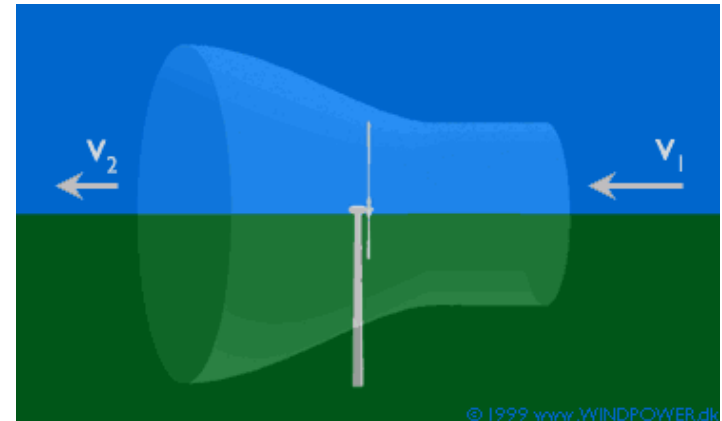
$$U_4 = U_1(1 - 2a)$$

Théorie du disque et limite de Betz

- Calcul de la puissance comme la différence entre l'énergie cinétique du vent avant et après le disque du rotor:

$$P = \frac{1}{2} \rho A_2 (U_1^2 - U_2^2) U_2$$

$$P = \frac{1}{2} \rho A_2 U_1^3 \cdot 4a(1-a)^2$$



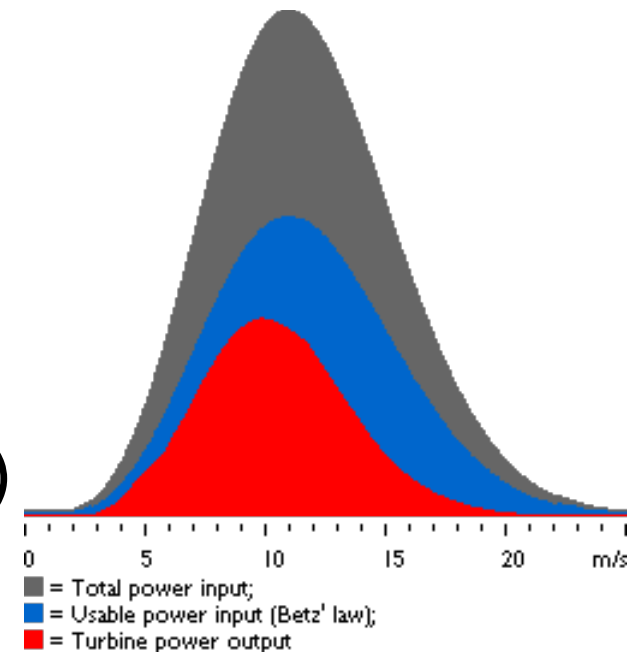
Théorie du disque et limite de Betz

- Coefficient de puissance

$$c_P = \frac{P}{\frac{1}{2} \rho A_2 U_1^3} = 4a(1-a)^2$$

- La limite de Betz (pour $a=1/3$)

$$c_{P_{\max}} = \frac{16}{27} = 0.593$$



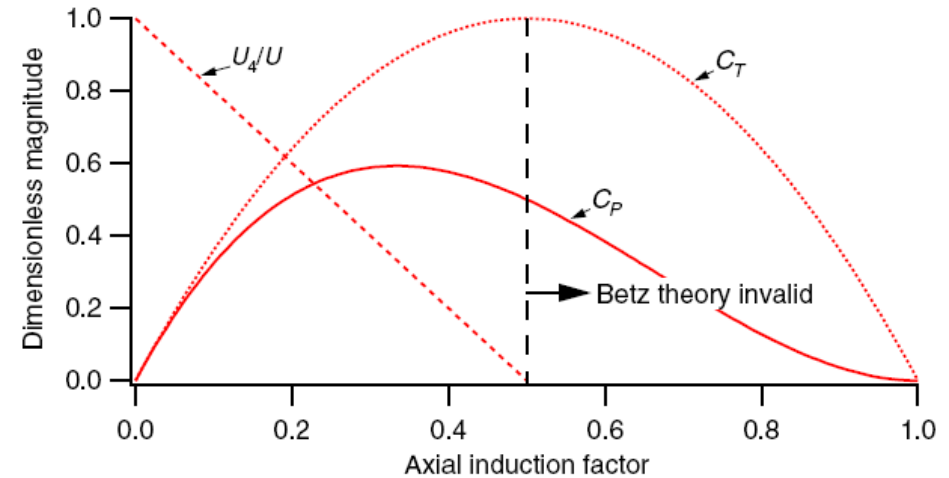
© 1998 www.WINDPOWER.org

Théorie du disque et limite de Betz

■ Calcul de la poussée :

$$T = \frac{1}{2} \rho A_2 U_1^2 [4a(1-a)]$$

$$c_T = \frac{T}{\frac{1}{2} \rho A_2 U_1^2} = 4a(1-a)$$



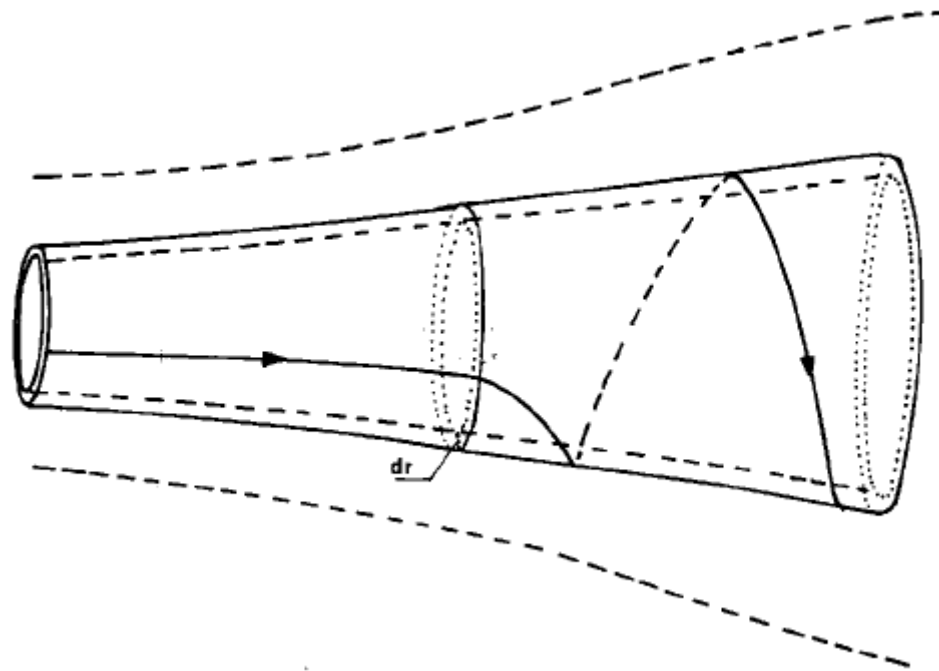
Théorie du disque et limite de Betz

- La limite de Betz représente la limite théorique du coefficient de puissance du rotor
- En pratique, cette limite n'est jamais atteinte à cause des pertes suivantes:
 - La rotation du sillage en arrière du rotor
 - Nombre fini de pales et pertes associées en bout de pale
 - Traînée aérodynamique non-nulle

$$\eta_{total} = \frac{P_{rotor}}{\frac{1}{2} \rho A_2 U_1^3} = \eta_{mécanique} C_P$$

Théorie du disque avec rotation du sillage

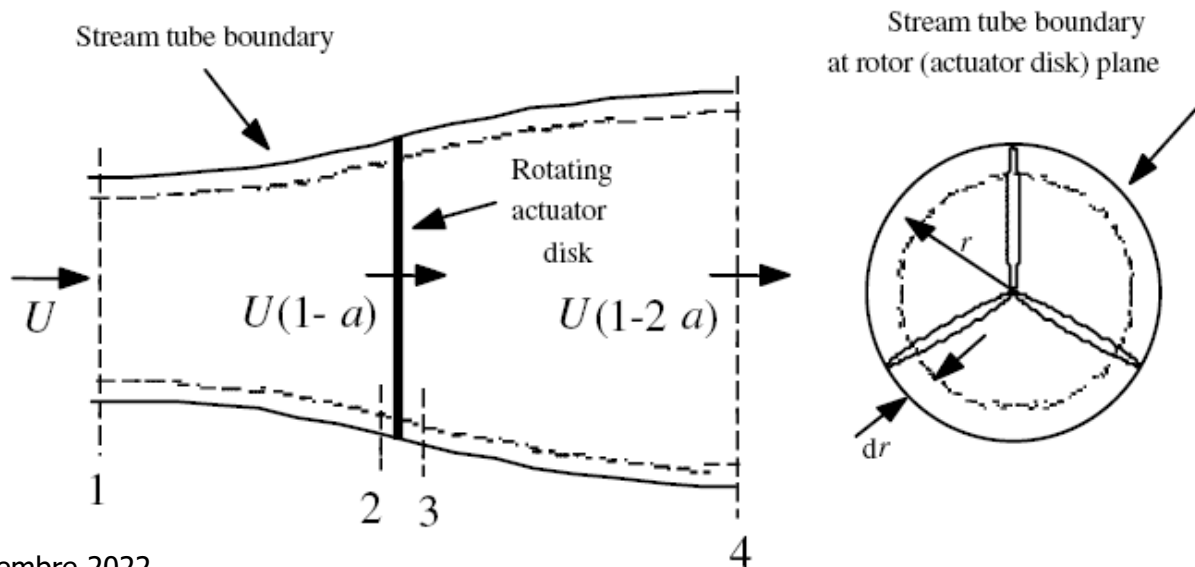
- Illustration du tube de courant en considérant la rotation du sillage:



Théorie du disque avec rotation du sillage

- Vitesse de rotation du rotor Ω et vitesse de rotation du sillage ω . Facteur d'induction angulaire:

$$a' = \frac{\omega}{2\Omega}$$



Théorie du disque avec rotation du sillage

- Le calcul de la poussée à travers le disque peut se faire en considérant la quantité de mouvement de rotation générée par les pales du disque:

$$dT = (p_2 - p_3)dA = \left[\rho \left(\Omega + \frac{1}{2} \omega \right) \omega r^2 \right] \cdot 2\pi r dr = 4a'(1+a') \frac{1}{2} \rho \Omega^2 r^2 \cdot 2\pi r dr$$

$$dT = 4a(1-a) \frac{1}{2} \rho U_1^2 \cdot 2\pi r dr$$

- Relation entre le facteur d'induction axiale a et le facteur d'induction angulaire a' (λ_r – ratio local des vitesses):

$$\frac{a(1-a)}{a'(1+a)} = \frac{\Omega^2 r^2}{U_1^2} = \lambda_r^2$$

Théorie du disque avec rotation du sillage

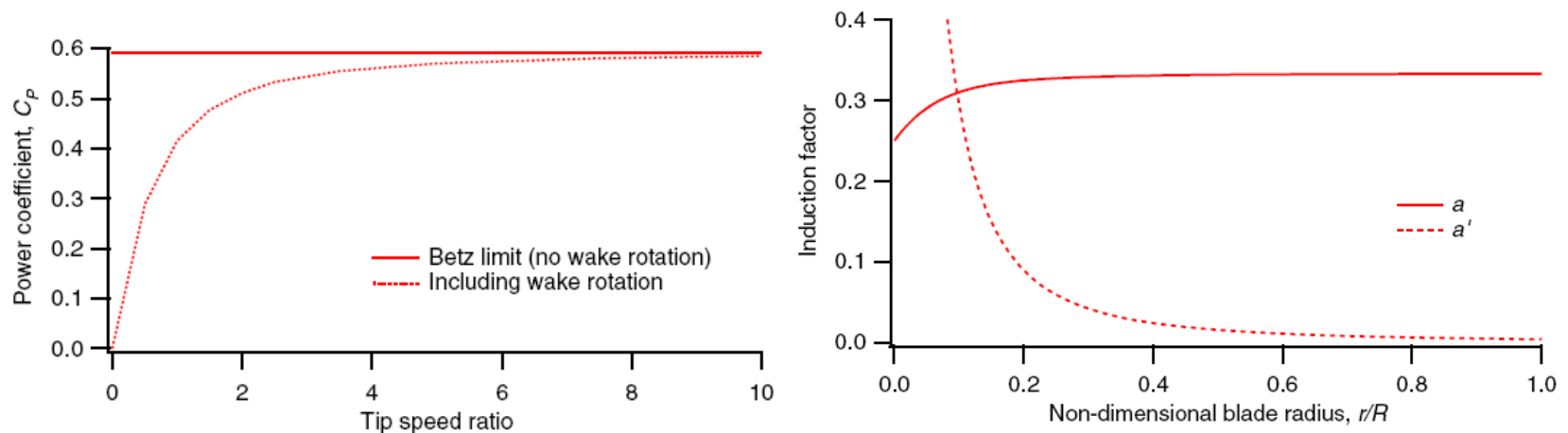
- Ratio global des vitesses pour le rotor $\lambda = \frac{\Omega R}{U}$
- Calcul de la puissance et du coefficient de puissance en fonction des coefficients d'induction axiale et angulaire

$$dP = \frac{1}{2} \rho A_2 U_1^3 \left[\frac{8}{\lambda^2} a' (1-a) \lambda_r^3 \right] d\lambda_r$$

$$c_P = \frac{8}{\lambda^2} \int_0^{\lambda} a' (1-a) \lambda_r^3 d\lambda_r$$

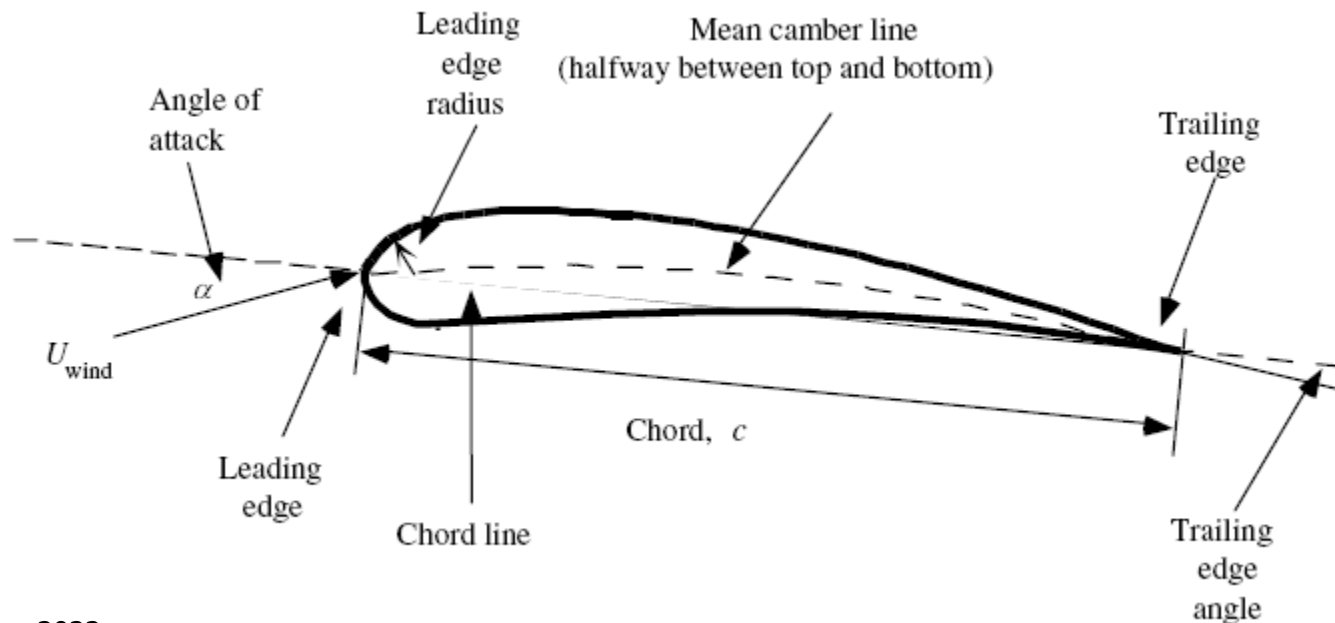
Théorie du disque avec rotation du sillage

- Le calcul de la puissance par l'intégration de la relation précédente demande de relier les variables a , a' et λ_r
- Les valeurs maximales théoriques du coefficient de puissance et les coefficients d'induction:



Les profils aérodynamiques

- Caractéristiques géométriques des profils aérodynamiques



Les profils aérodynamiques

- Variation du profil aérodynamique au long de la pale

Thin Airfoil Family for Medium Blades

Tip Region Airfoil (95% radius)



Primary Outboard Airfoil (75% radius)



Root Region Airfoil (40% radius)



Thick Airfoil Family for Large Blades

Tip Region Airfoil (95% radius)



Primary Outboard Airfoil (75% radius)

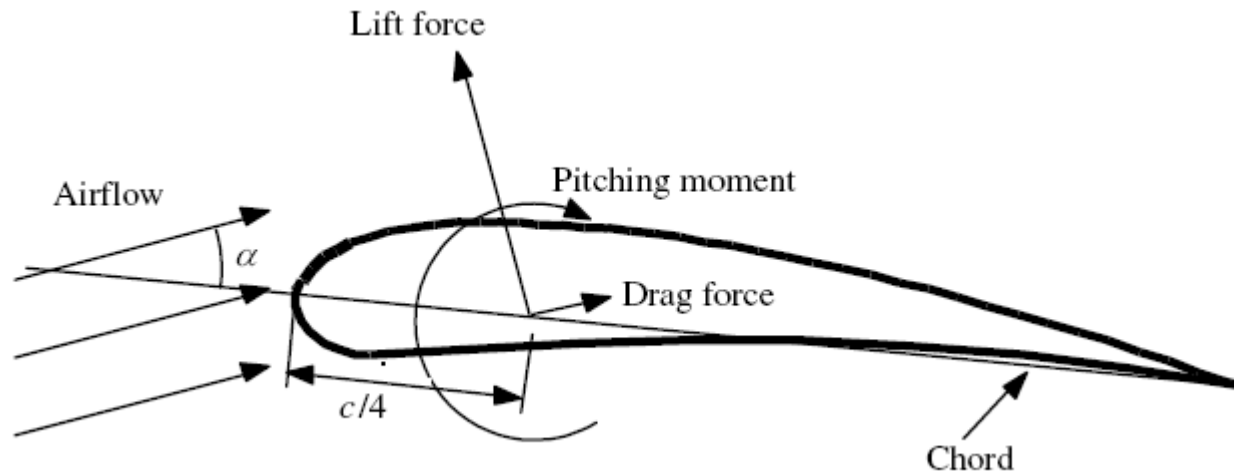


Root Region Airfoil (40% radius)



Les profils aérodynamiques

- Forces (portance et traînée) et moments (de tangage) sur les profils aérodynamiques



Les profils aérodynamiques

- Caractéristiques adimensionnelles de l'écoulement et coefficients aérodynamiques:

- Nombre de Reynolds $Re = \frac{UL}{\nu} = \frac{\rho UL}{\mu}$

- Coefficient de portance $c_L = \frac{L/l}{\frac{1}{2} \rho U^2 \cdot c}$

- Coefficient de traînée $c_D = \frac{D/l}{\frac{1}{2} \rho U^2 \cdot c}$

- Coefficient du moment (de tangage) $c_M = \frac{M}{\frac{1}{2} \rho U^2 \cdot Ac}$

Caractéristiques aérodynamiques du profil de la pale

- Coefficient de portance c_L et coefficient de traînée c_D
- Décrochage aérodynamique (voir film)



© 1998 www.WINDPOWER.dk



© 1998 www.WINDPOWER.dk

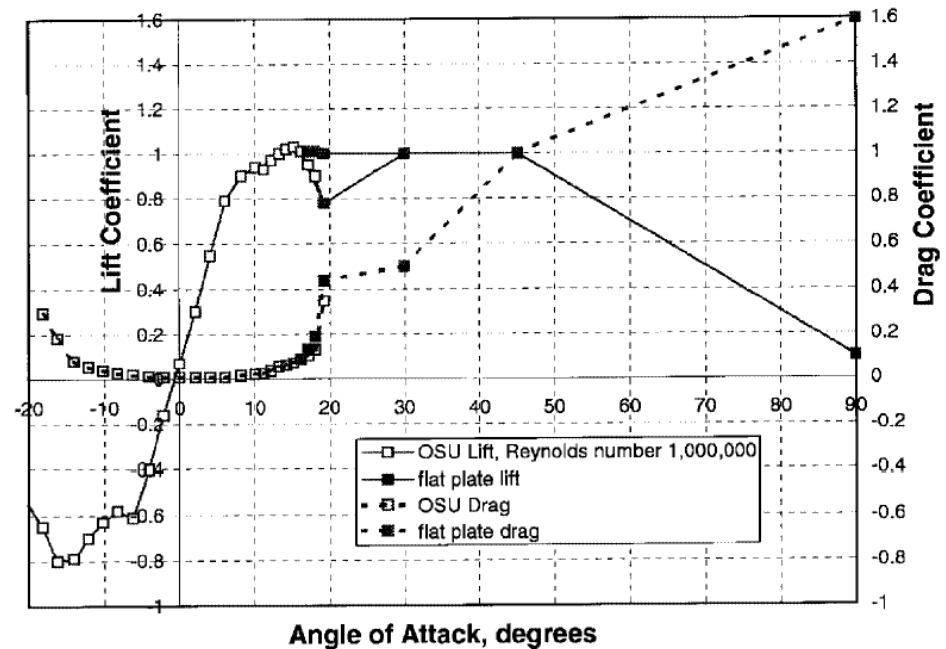


Figure 6. Post-stall airfoil data based on torque-weighted aspect-ratio

Théorie de l'élément de pale

- La pale est divisée en une série d'éléments (profils aérodynamiques) que nous considérons qu'ils fonctionnent indépendamment les uns des autres

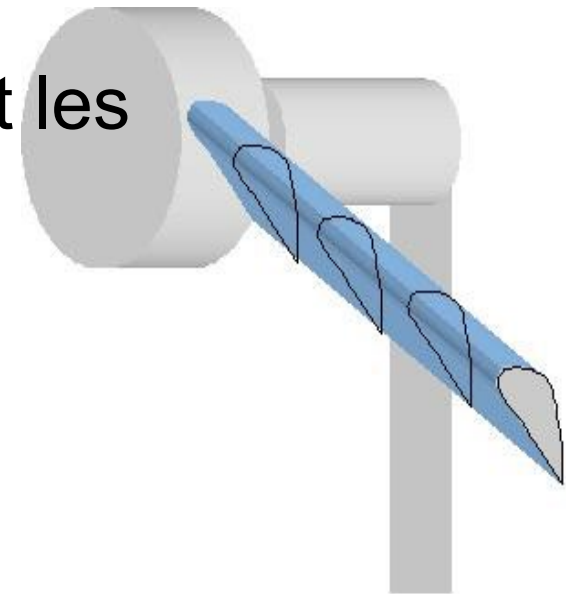


Fig. 1 - Division de la pale suivant la théorie des coupes

Théorie de l'élément de pale

- Caractéristiques de la pale:
 - Les profils aérodynamiques
 - La longueur de la pale
 - La distribution de la largeur de corde de la pale
 - La distribution du « twist » de la pale

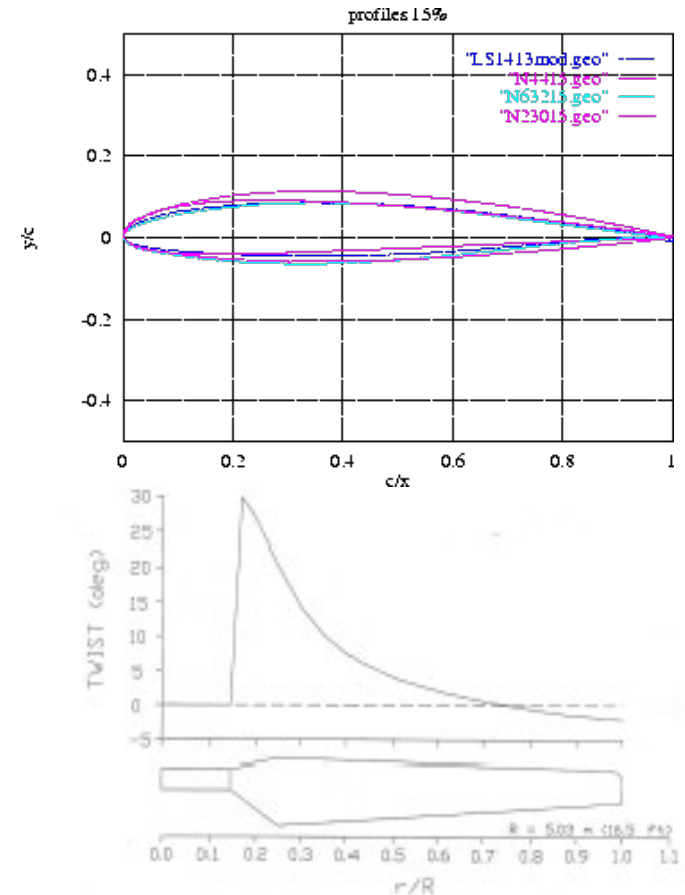
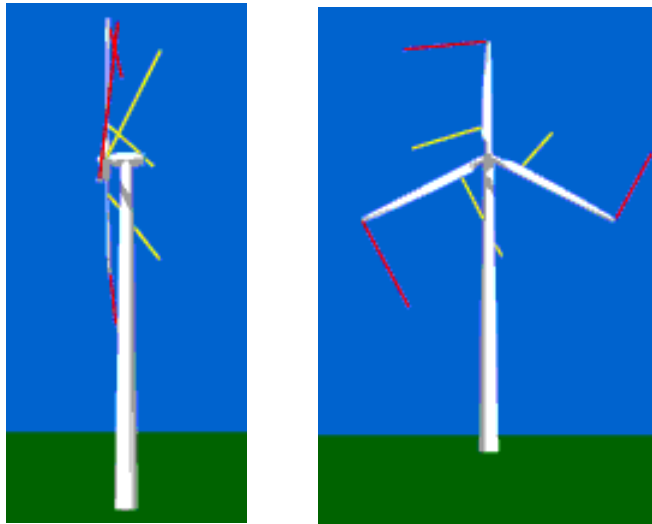


Fig. 2. Chord and twist distribution for the CER blade¹⁰.

Théorie de l'élément de pale

■ Vitesses et forces sur l'élément de pale



$$\tan \varphi = \frac{U(1-a)}{\Omega r(1+a')} = \frac{1-a}{\lambda_r(1+a')}$$

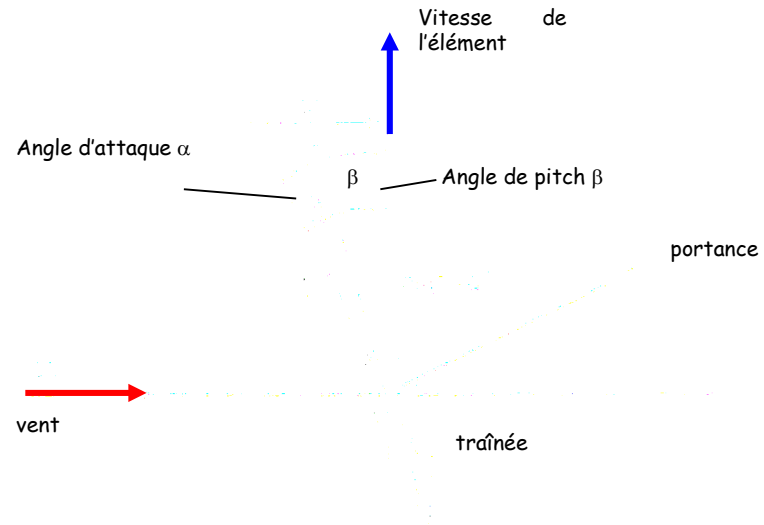


Fig. 2 - Illustration des différentes données

Théorie de l'élément de pale

- Calcul du couple (torque) généré par l'élément de pale:

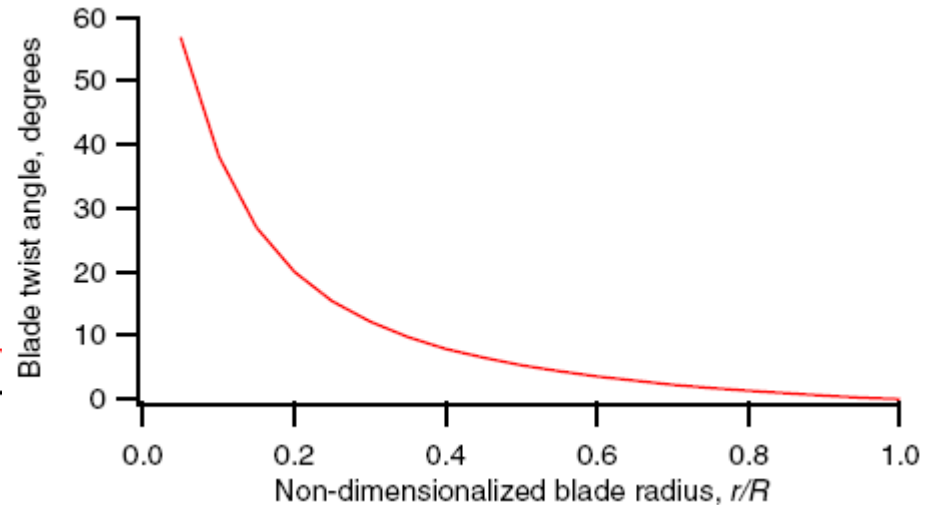
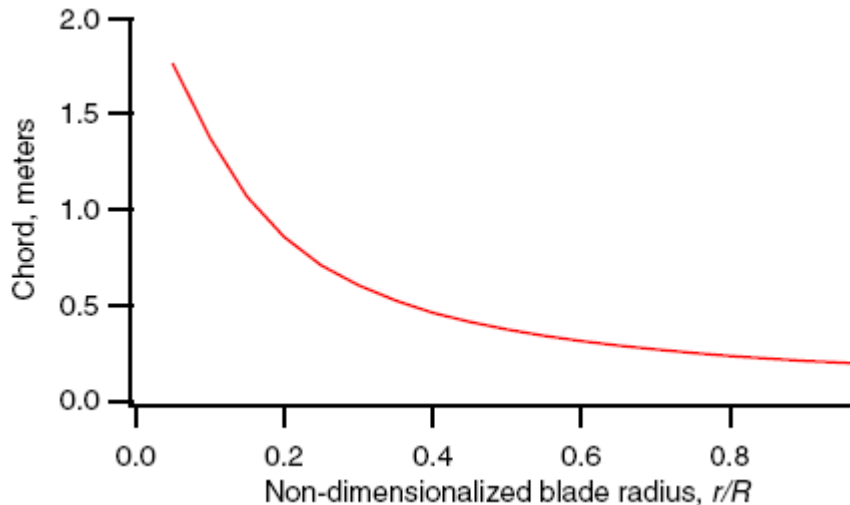
$$dT = \frac{1}{2} \rho V_r^2 \times r (C_l \sin \phi - C_d \cos \phi) B c dr$$

- Le couple (torque) total de la pale :

$$T = \int_0^R dT$$

Forme idéale de la pale sans rotation du sillage

- Pas de rotation du sillage $a'=0$;
- Pas de traînée $c_d=0$;
- Pas de pertes dues au nombre fini de pales;
- Condition optimale de Betz – $a=1/3$ à chaque r

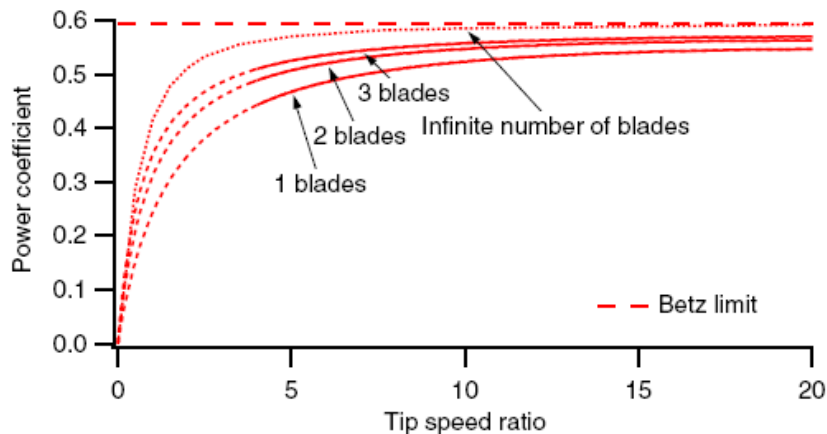


Forme idéale de la pale dans des conditions générales

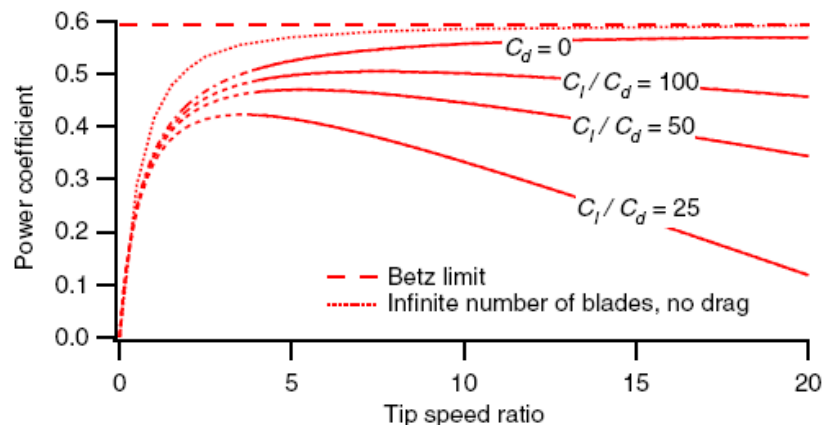
- Systèmes d'équations ayant comme inconnues a , a' et φ dont les équations proviennent de:
 - Théorie du disque (quantité de mouvement et quantité de mouvement de rotation);
 - Théorie de l'élément de pale
- Méthode de résolution graphique (possibilité de solutions multiples) ou itérative (recommandée)

Effet de la traînée et du nombre de pales

Effet du nombre de pales

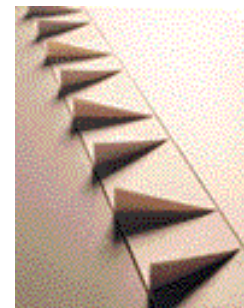


Effet de la traînée



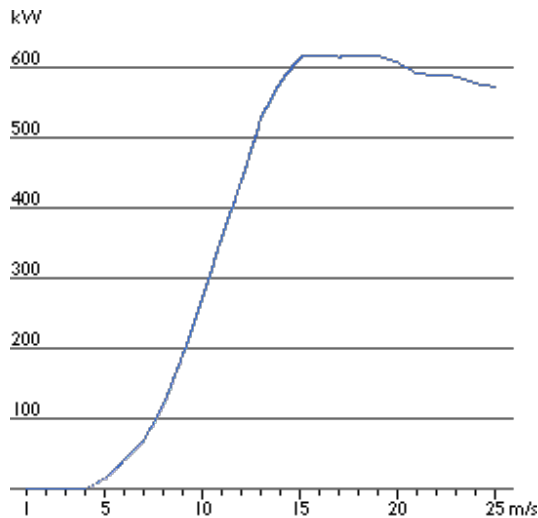
Recherche et développement en aérodynamique des pales

- CFD – (Computational Fluid Dynamics) pour l'optimisation des profils et le contrôle du décrochage aérodynamique
- Dispositifs de contrôle du décrochage (générateurs de vortex installés sur la pale afin de retarder le décrochage à faible vitesses)



Performances aérodynamiques de l'éolienne

- Construction de la courbe de puissance théorique – dépendance de la puissance produite en fonction de la vitesse du vent



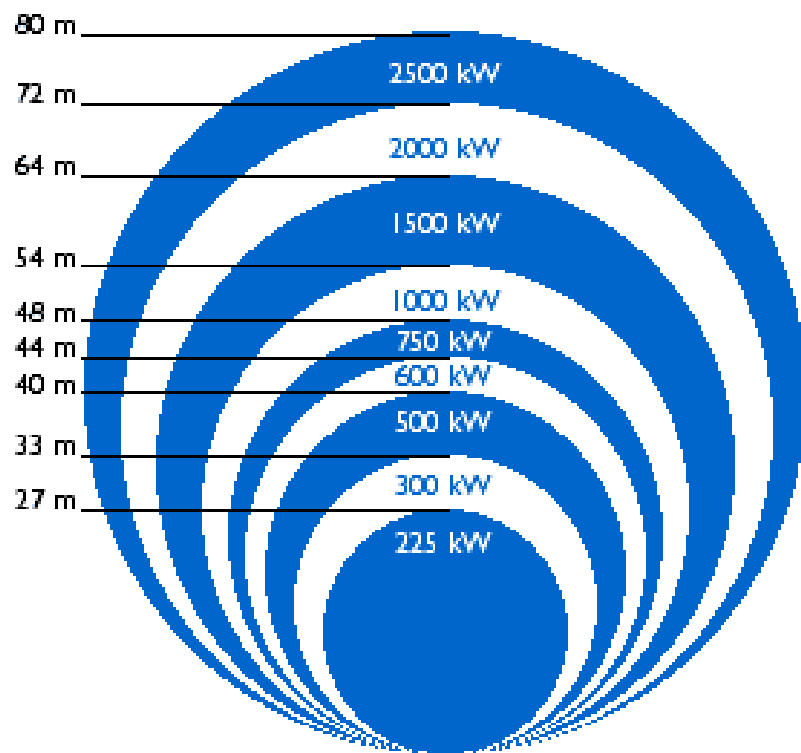
© 1998 www.WINDPOWER.org

$$dT = \frac{1}{2} \rho V_r^2 \times r (C_l \sin \phi - C_d \cos \phi) B c dr$$

$$P = \int_0^R r dT$$

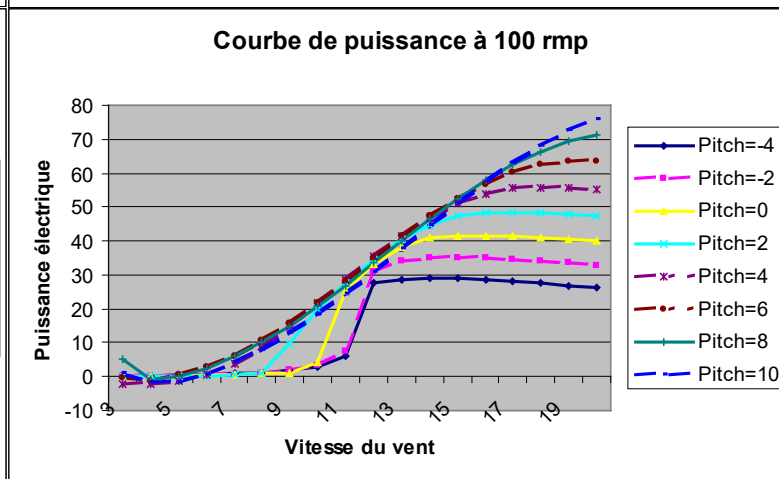
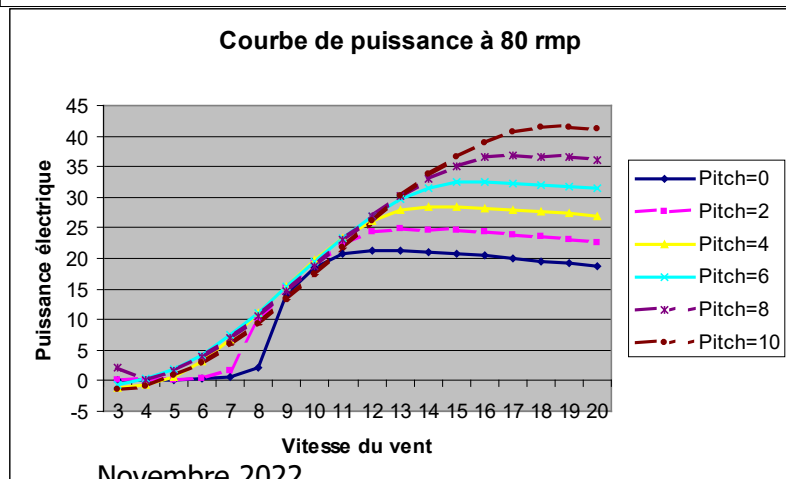
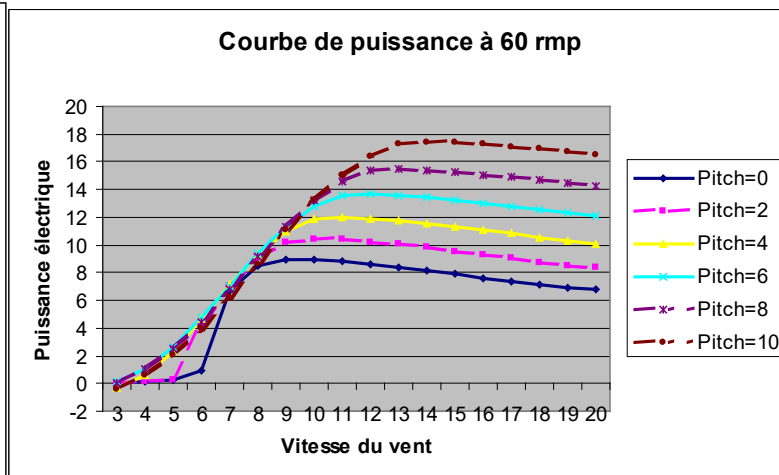
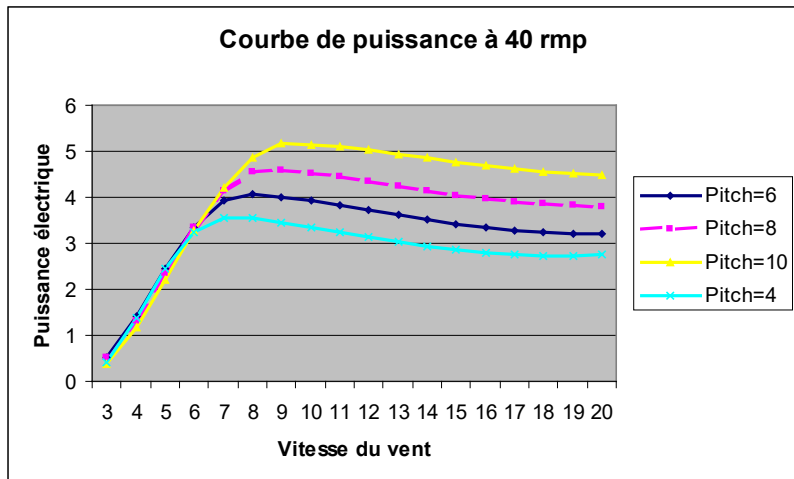
Performances de l'éolienne

- Facteurs qui influencent la courbe de puissance :
 - La géométrie de la pale dans le plan (longueur, largeur, distribution du torsion de la pale)
 - L'angle de pitch de la pale
 - La vitesse de rotation
- Exemple de résultats pour la turbine PGI



© 1998 www.WINDPOWER.org

Courbes théoriques pour la turbine PGI de 35kW



Novembre 2022

Puissance de l'éolienne théorique vs. mesurée

- Courbes de puissance obtenues en utilisant le modèle théorique comparées à des simulations en soufflerie

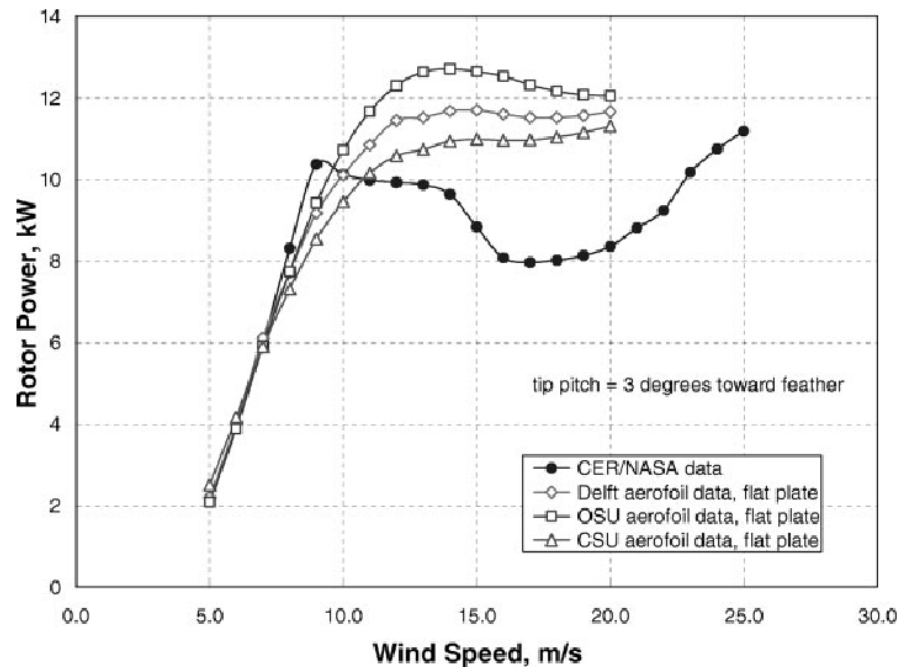
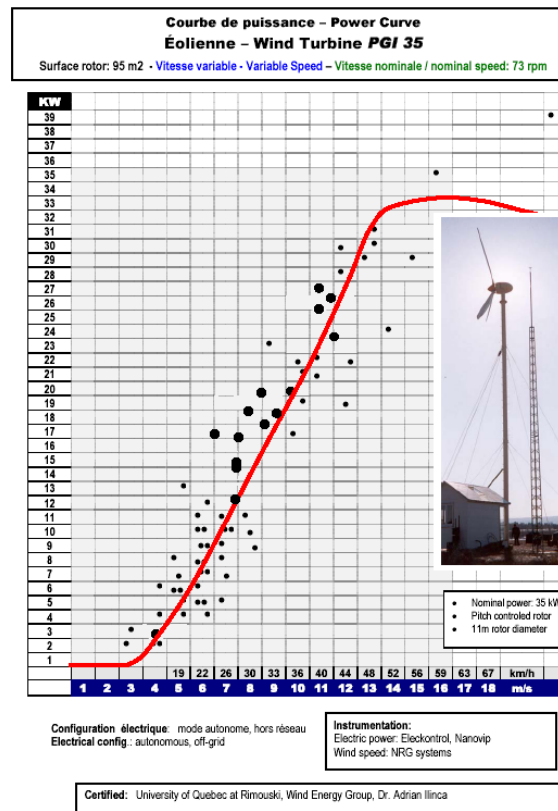
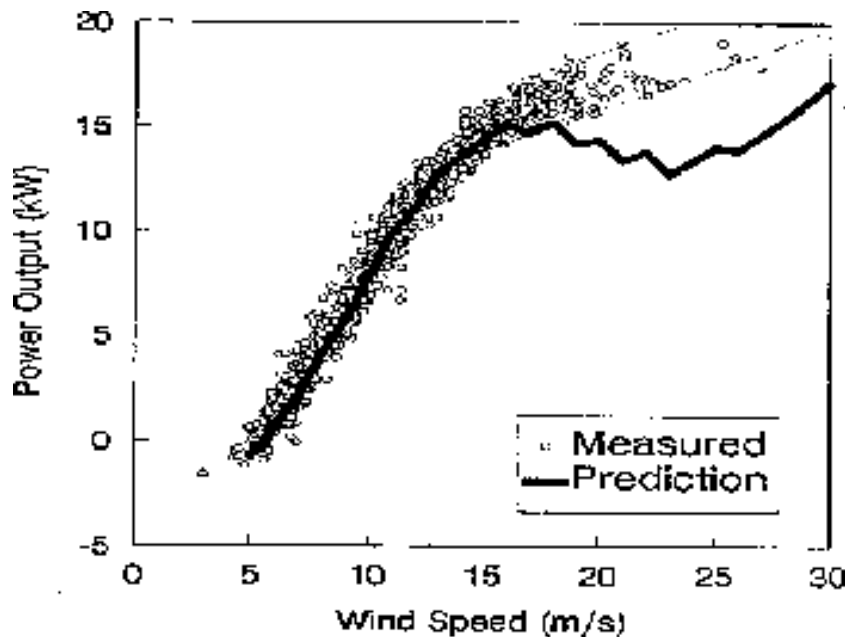


Figure 4. Predicted performance using WTPERF and different wind-tunnel data sets

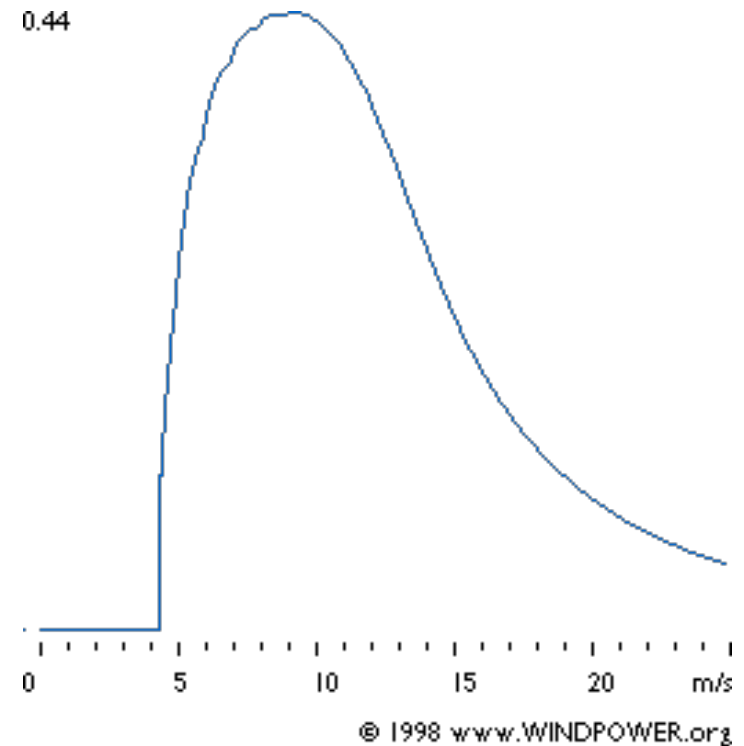
Puissance de l'éolienne théorique vs. mesurée

- Réalisation de la courbe de puissance réelle d'une éolienne



Performances de l'éolienne

- Paramètres de performance très importants qui sont fournis par la courbe de puissance:
 - La vitesse de démarrage
 - La vitesse de coupure
 - Le coefficient de puissance – l'efficacité avec laquelle l'éolienne convertit l'énergie disponible du vent

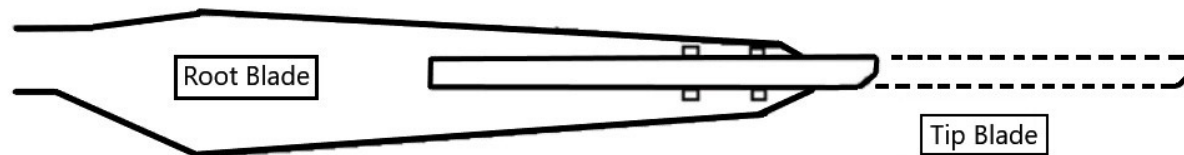


Overview of vibration control systems for wind turbines

- Advanced blade pitch control
- Variable rotor diameter
- Flow control
- Tuned dampers
- Active tendons
- Piezoelectric actuators

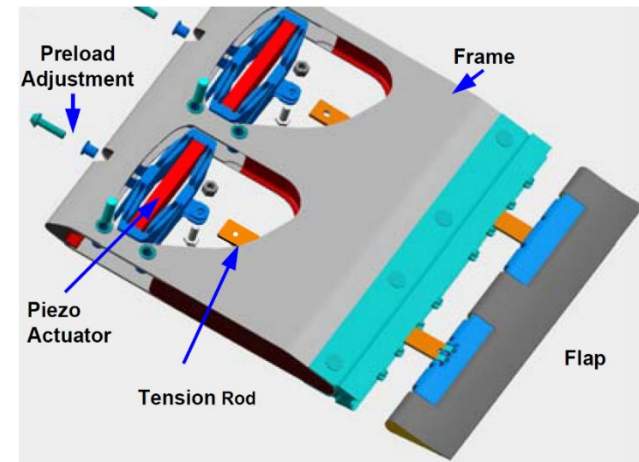
Overview of vibration control systems for wind turbines

- Advanced blade pitch control
 - Cyclic pitch control
 - Individual pitch control
- Variable rotor diameter



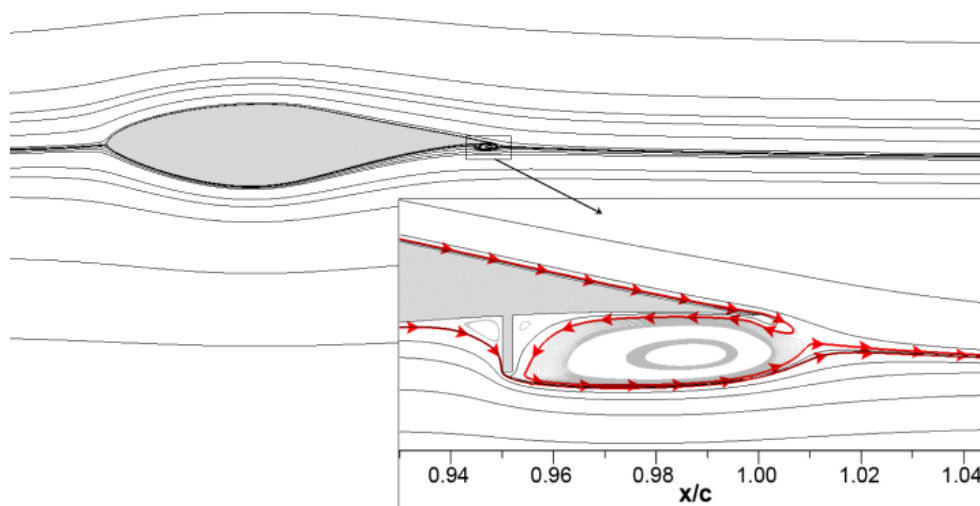
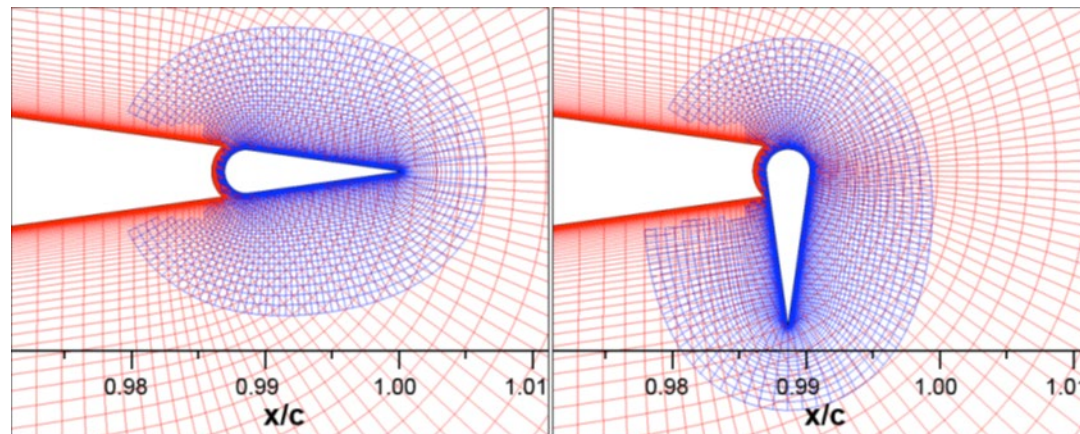
Overview of vibration control systems for wind turbines

- Flow control
 - Trailing-edge flaps



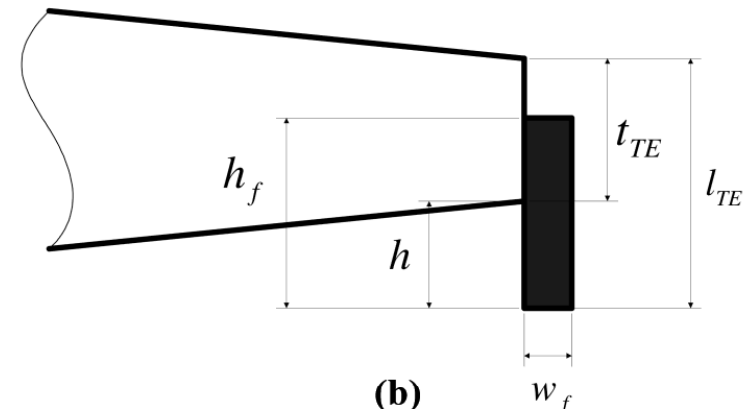
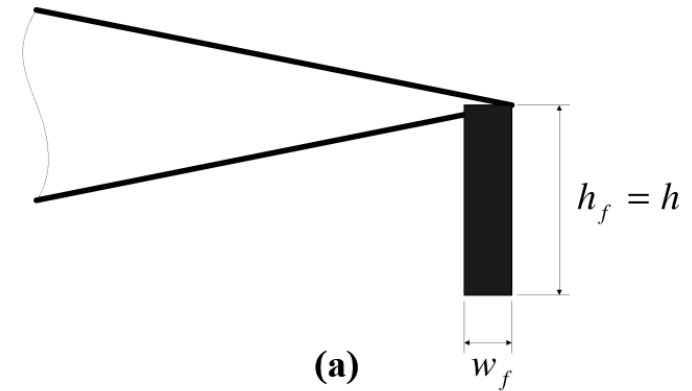
Overview of vibration control systems for wind turbines

- Flow control
 - Microflaps
 - Microtabs



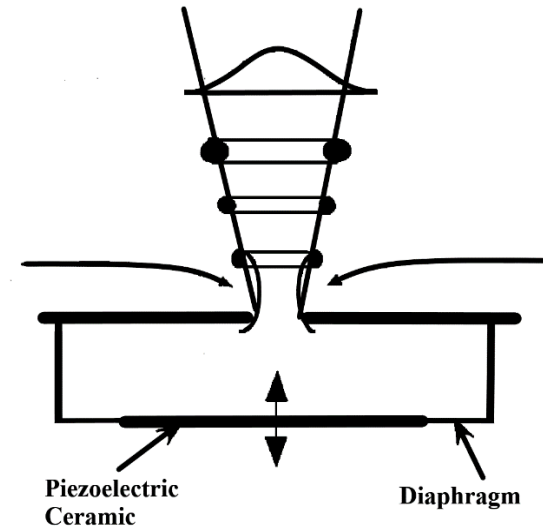
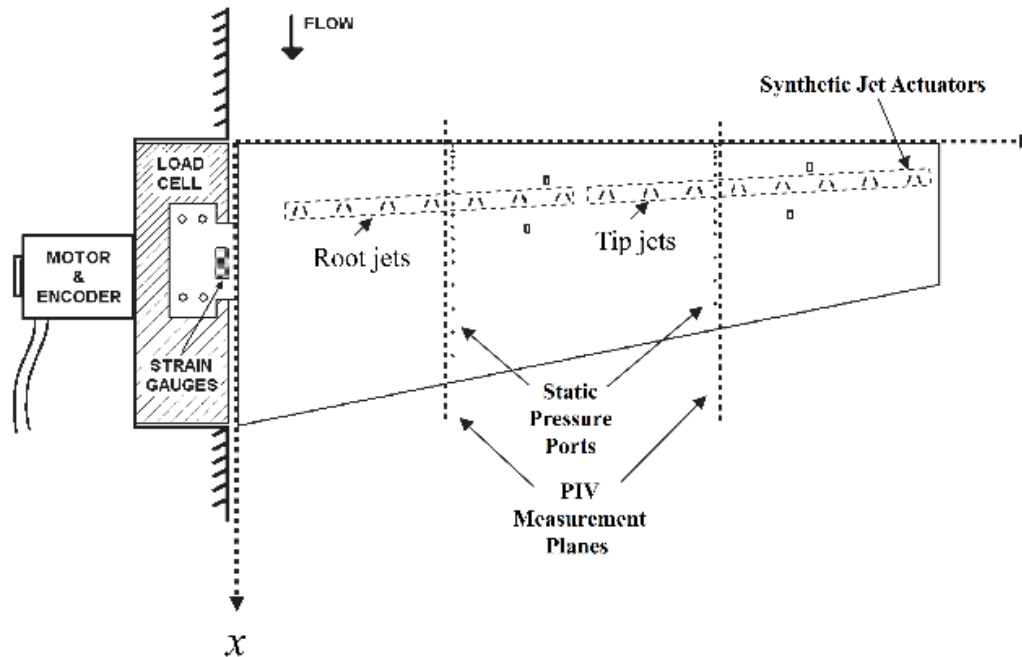
Overview of vibration control systems for wind turbines

- Flow control
 - Miniature trailing edge effectors



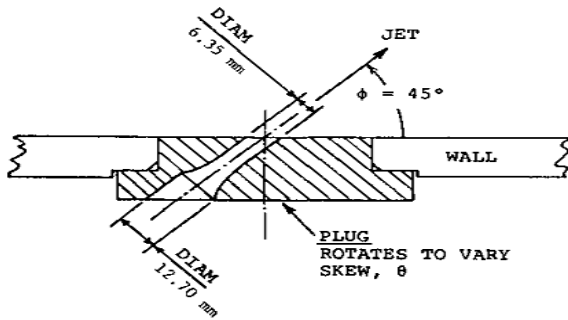
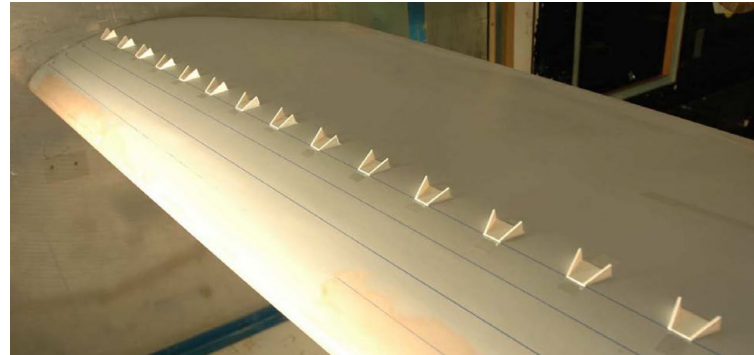
Overview of vibration control systems for wind turbines

- Flow control
 - Synthetic jets

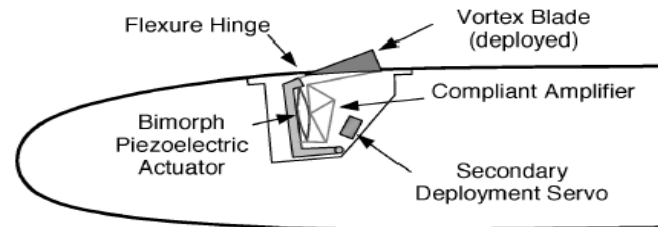


Overview of vibration control systems for wind turbines

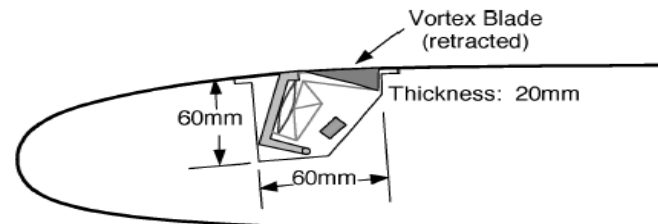
- Flow control
 - Fixed vortex generators
 - Vortex generators jets



- Micro-vortex generators

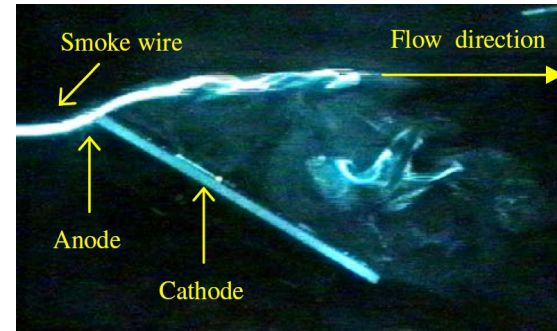
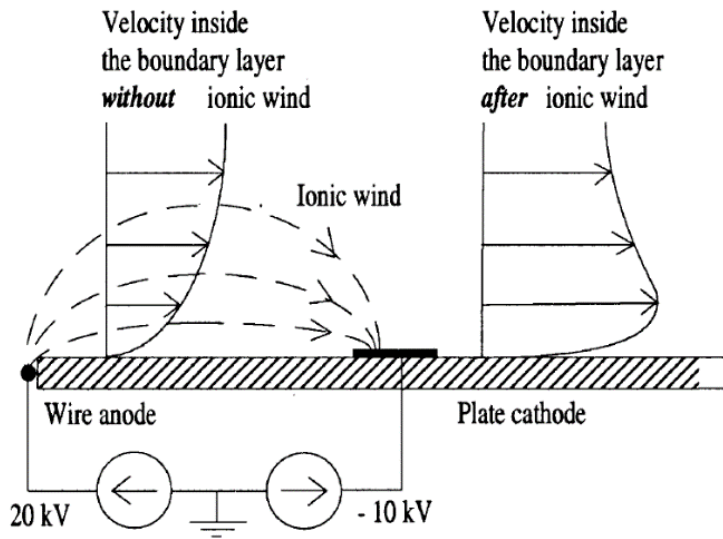


a) Vortex blade deployed

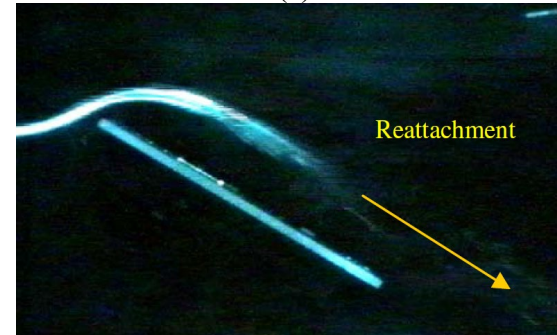


Overview of vibration control systems for wind turbines

- Flow control
 - Plasma actuators



(a)



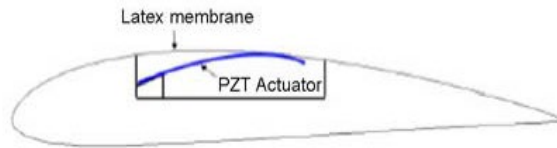
(b)

Figure 1: Visualization of the airflow at 0.4 m/s with DC corona discharge actuator off (a) and actuator on (b) [86]

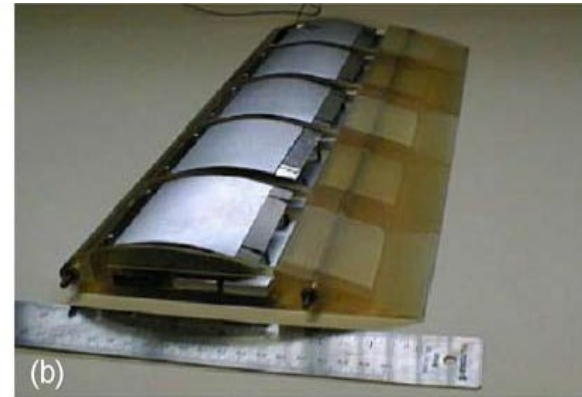
Overview of vibration control systems for wind turbines

- Flow control

- Shape change airfoils

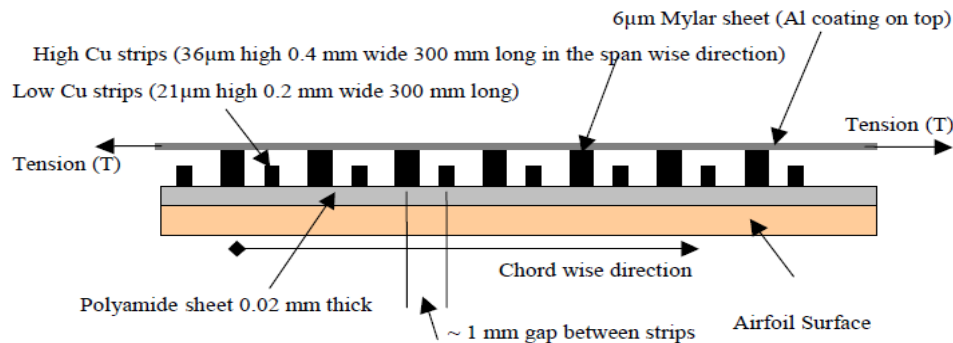


(a)



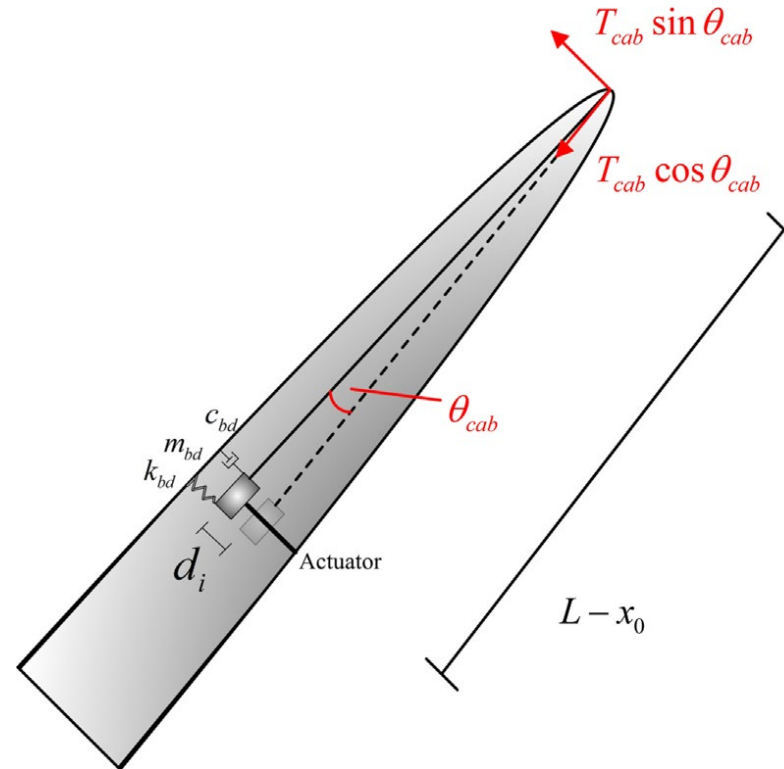
(b)

- Active flexible wall



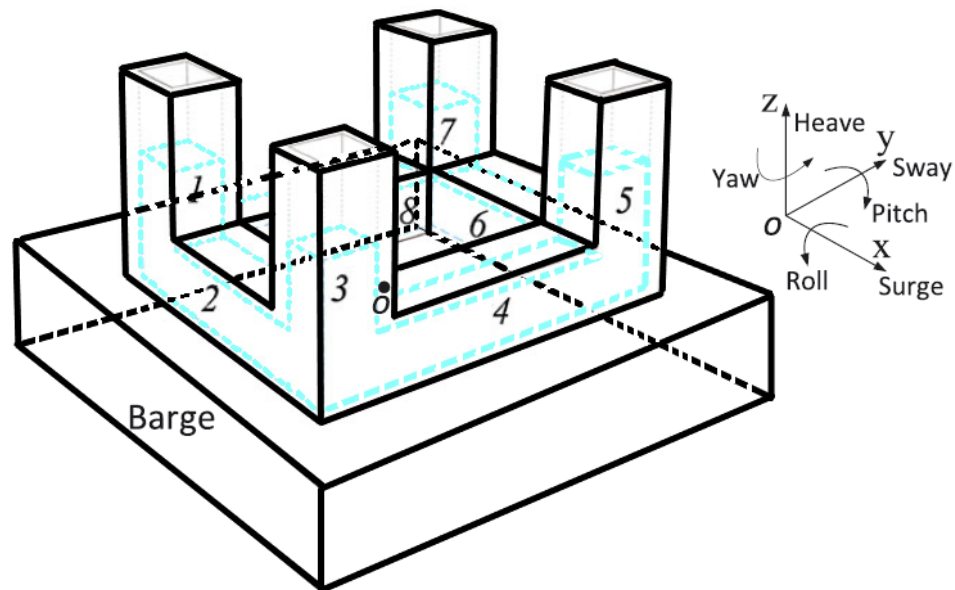
Overview of vibration control systems for wind turbines

- Tuned mass dampers



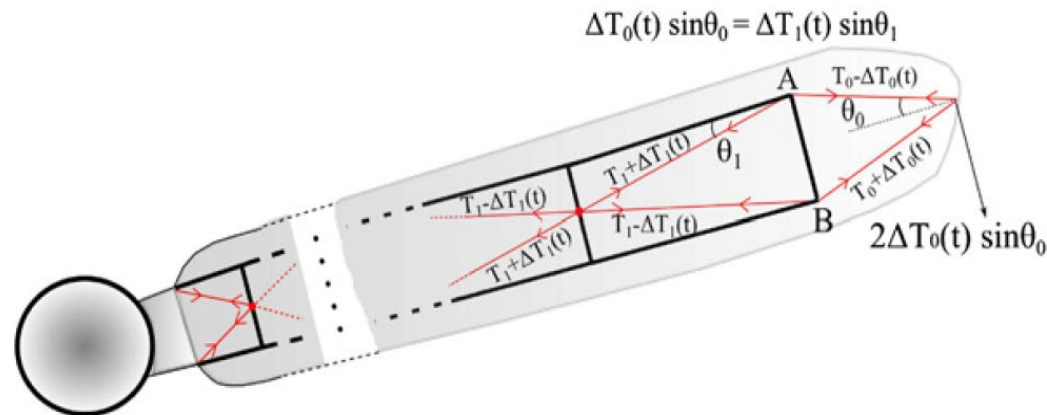
Overview of vibration control systems for wind turbines

- Tuned liquid dampers: bidirectional horizontal tuned liquid damper



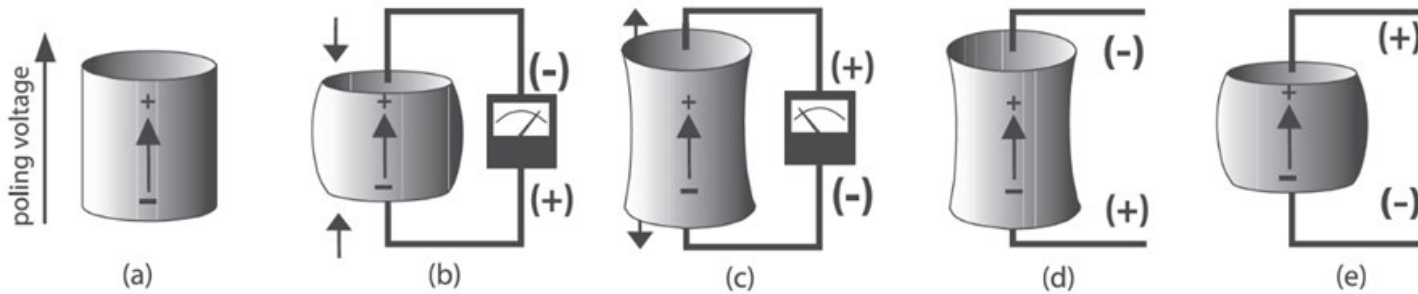
Overview of vibration control systems for wind turbines

- Embedded active tendons



Overview of vibration control systems for wind turbines

- Piezoelectric actuators

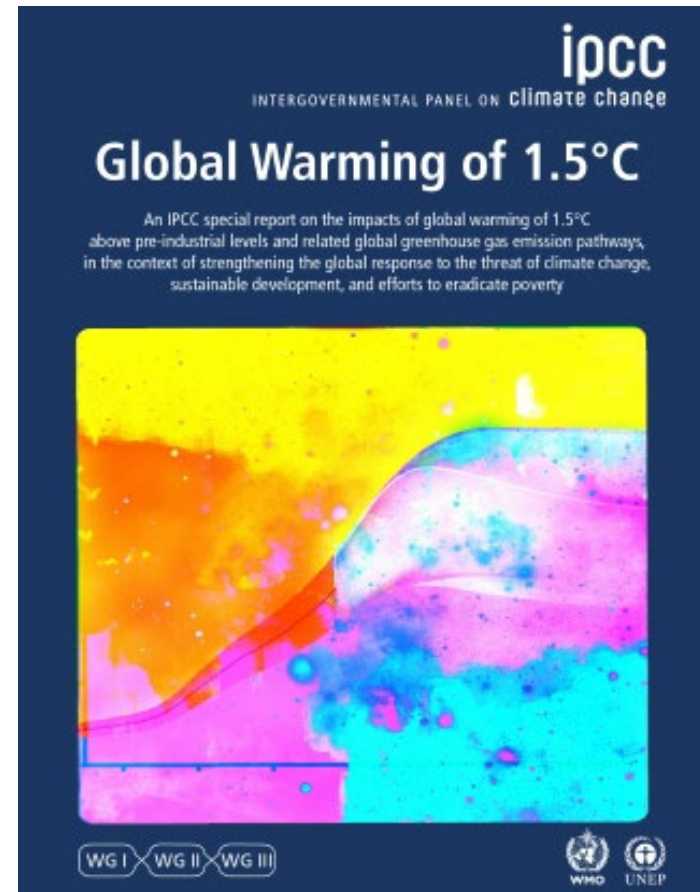


Conclusion

- Some actions and contributions from the Wind Energy Research Laboratory and its partners in relation to the challenges and opportunities of developing wind energy in Quebec:
 - Wind-diesel hybrid systems with compressed air storage
 - Adaptation of the technology to the cold climate
 - Social acceptability of wind projects
 - Multi-criteria and multi-stakeholder decision support model for wind projects

IPCC REPORT – OCTOBER 2018

- ***IPCC special report on the impacts of global warming of 1.5 °C above pre-industrial levels and related global greenhouse gas emission pathways, in the context of strengthening the global response to the threat of climate change, sustainable development, and efforts to eradicate poverty***



ACTIONS

- GHG emissions reduction
- Energy efficiency
- Replace conventional energy with renewable energy (hydro, solar, wind, biomass, marine, geothermal)
- Limitations of renewable energies: periodic, intermittent, fluctuates, not synchronous with the charge
- Requires integration of multiple sources, energy storage and smart grid approaches

Thank you!

- **Contact:**

Adrian ILINCA

Wind Energy Research Laboratory

Université du Québec à Rimouski

adrian_ilinca@uqar.ca

Phone: +1-418-723-1986, ext. 1460